



Déconvolution et débruitage

Ajout au cours 1 du module
"Traitements numériques et capteurs imageurs
de nouvelle génération"

Guy Le Besnerais, ONERA/DTIS
lebesner@onera.fr

Remerciements/crédits : Caroline Kulcsar, IOGS.

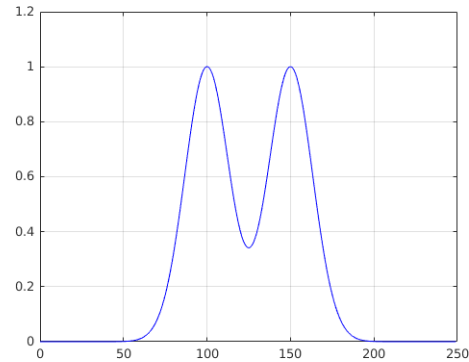


retour sur innovation

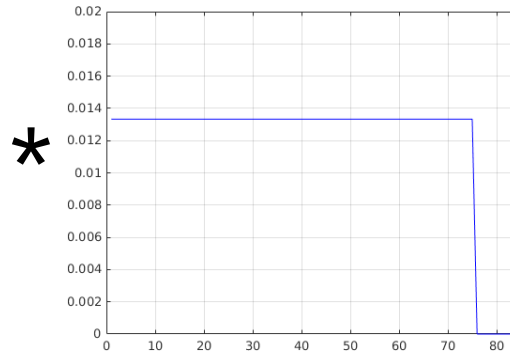
- Déconvolution 1D : exemple de Hunt.
- Déconvolution par filtre de Wiener
- Débruitage

Déconvolution 1D : exemple de Hunt (1/6)

x



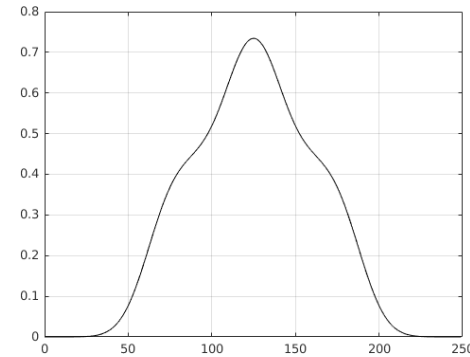
h



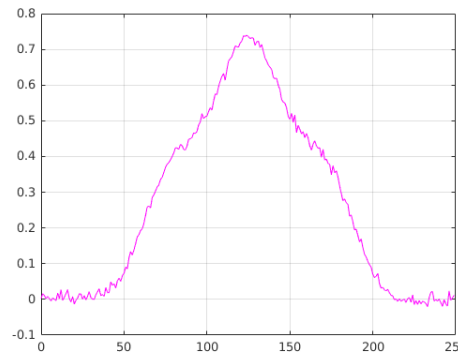
$*$

$=$

$+b$



z



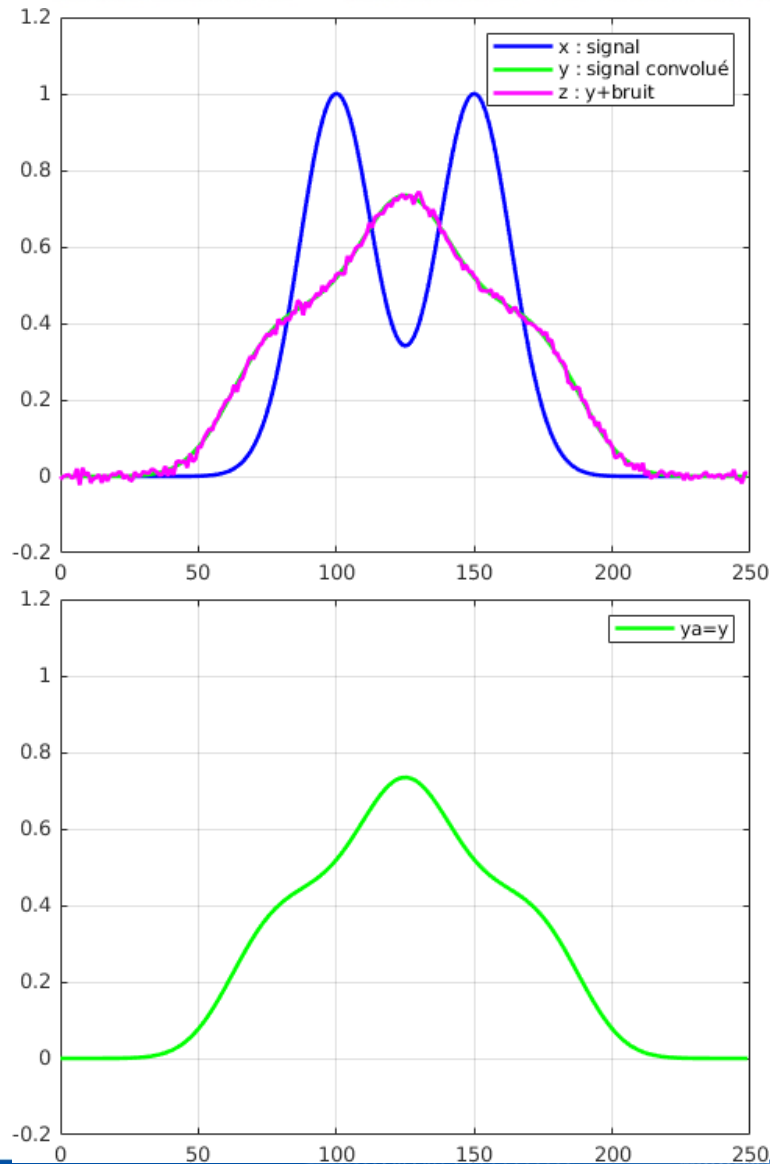
$$z = h * x + b$$

Sous forme matricielle :

$$z = Hx + b$$

On veut retrouver x à partir de z

Déconvolution 1D : exemple de Hunt (2/6)



Forme convolution

```
6
7 - N=250;
8 - xx=0:N-1;
9 - sigx=7.5;
10 - g1=exp(-(xx-100).^2/(2*pi*sigx^2));g1=g1/max(g1(:));
11 - g2=exp(-(xx-150).^2/(2*pi*sigx^2));g2=g2/max(g2(:));
12 - x=g1+g2;
13
14 % le filtre
15 - h=ones(1,75);h=h/sum(h(:));
16
17 - y=conv(x,h,'same');
18
19 - sigb=0.01;
20 - z=y+sigb*randn([1,N]);
21
22 - figure; plot(xx,x,'b',xx,y,'g',xx,z,'m','linewidth',2)
23 - grid on
24 - legend('x : signal','y : signal convolué','z : y+bruit')
25
```

Forme matricielle

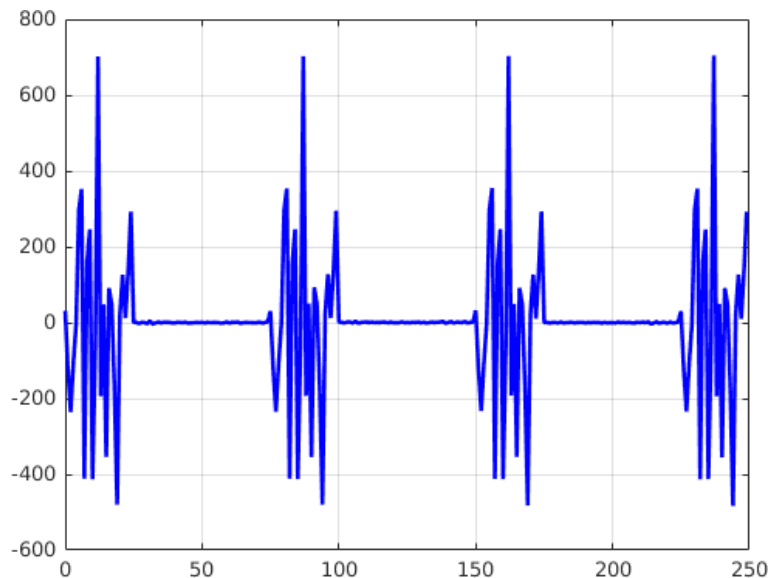
```
38 % forme matricielle
39 - H=convmtx(h',N);
40 -
41 - H=H(38:end-37,:);
42 - ya=H*x';ya=ya';
43
44 - figure ; plot(xx,ya,'g','linewidth',2); grid on
45 - legend('y')
```


Déconvolution 1D : exemple de Hunt (3/6)

Solution des moindres carrés : $\hat{x} = \arg \min_x \|z - Hx\|^2$

$$\hat{x} = (H^t H)^{-1} H^t z$$

Catastrophe...



```
47  
48 % Solution des moindres carrés  
49  
50 - HtH=H'*H  
51 |  
52 - xhat=HtH\ (H'*z(:));  
53  
54 - figure ;plot(xx,xhat,'b','linewidth',2); grid on  
55
```

Déconvolution 1D : exemple de Hunt (4/6)

Régularisation par pénalisation quadratique (Tikhonov)

$$\hat{x} = \arg \min_x \|z - Hx\|^2 + \lambda \mathcal{R}(x)$$

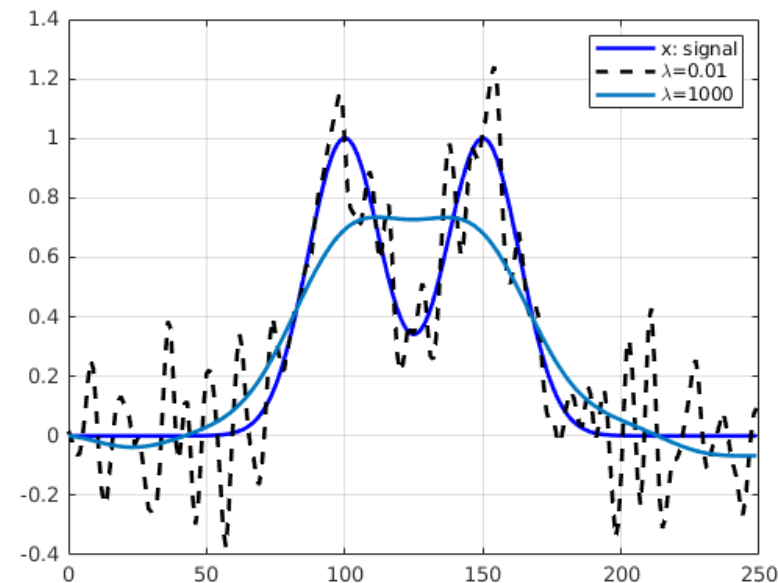
- $\lambda=0$: Moindre Carrés
- $\lambda=\infty$: solution indépendante des données

On va prendre : $\mathcal{R}(x) = \sum_{i=1}^{N-1} (x_{i+1} - 2x_i + x_{i-1})^2$ Écriture matricielle : $x^t D^t D x$

$$\hat{x} = (H^t H + \lambda D^t D)^{-1} H^t z$$

Comment régler λ ?

```
57 % matrice de régularisation
58 c=[1;-2;1;zeros(247,1)];
59 r=[1,zeros(1,249)];
60 D=toeplitz(c,r);
61
62 % reconstruction reglée a la main
63 lambda=0.001;
64 xhat1=(HtH+lambda*D'*D)\(H'*z(:));
65
66 lambda=1000;
67 xhat2=(HtH+lambda*D'*D)\(H'*z(:));
68
69 figure
70 plot(xx,x,'b',xx,xhat1,'c',xx,xhat2,'linewidth',2);
71 grid on ;|legend('x: signal','\lambda=0.01','\lambda=1000');
```

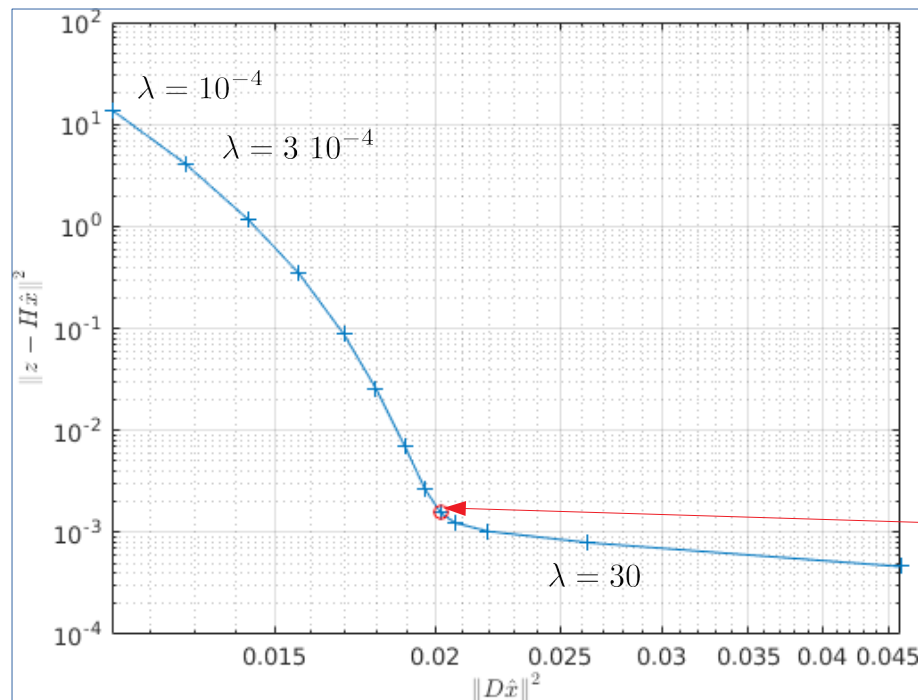


Déconvolution 1D : exemple de Hunt (5/6)

Régularisation par pénalisation quadratique (Tikhonov)

$$\hat{x} = \arg \min_x \|z - Hx\| + \lambda \mathcal{R}(x)$$

L-curve : on trace en log-log le résidu en fonction du terme de régularisation pour une large plage de λ

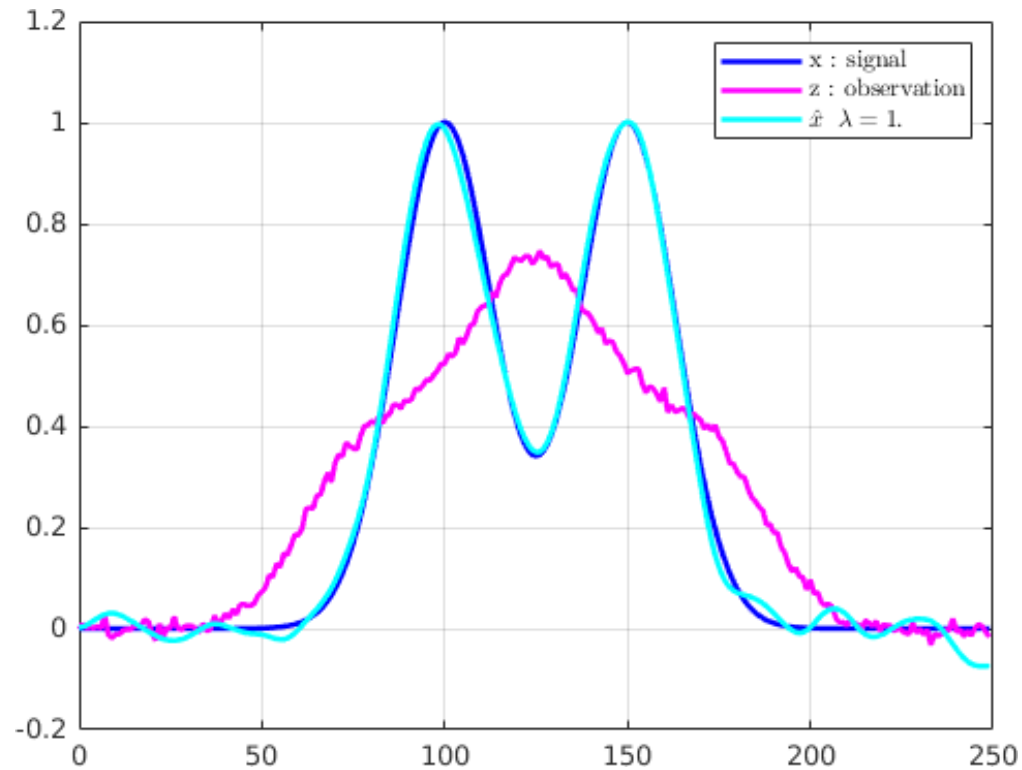


```
76 %% L-curve
77 - vec_lambda=[1.e-4,3.e-4,1.e-3,3.e-3,1.e-2,3.e-2,1.e-1,3.e-1,1,3,10,30,100];
78 - P=length(vec_lambda);
79 - adeq=zeros(P,1);
80 - regul=zeros(P,1);
81
82 - D2=D'*D;
83
84 - for ii=1:P
85     lambda=vec_lambda(ii);
86     M=HtH + lambda*D2;
87     xhat=M\ (H'*z(:));
88     adeq(ii)=sum((z(:)-H*xhat).^2);
89     regul(ii)=sum((D*xhat).^2);
90 - end
91
92 figure; loglog(adeq,regul,'-+');grid on;hold on
93 xlabel('\left\| D\hat{x} \right\|^2','Interpreter','latex')
94 ylabel('\left\| z-H\hat{x} \right\|^2','Interpreter','latex')
95 iiopt=9;
96 loglog(adeq(iiopt),regul(iiopt),'or')
97
```

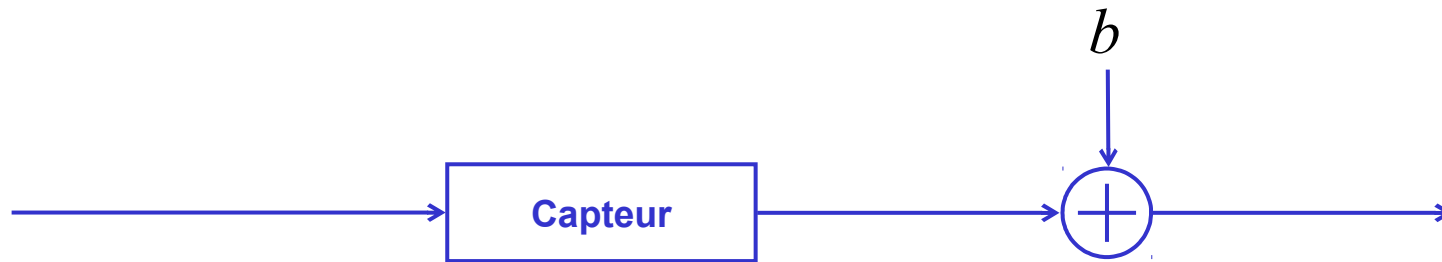
$\lambda = 1$.



Déconvolution 1D : exemple de Hunt (6/6)



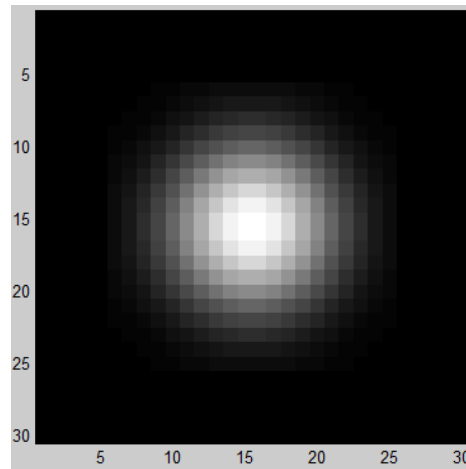
Un problème de convolution



x

h (psf)

$z = h * x + b$



Une approche « intuitive » par Fourier

$$y(n, m) = (h \star x)(n, m)$$

- Théorème de convolution-multiplication

$$\tilde{y}(u, v) = \tilde{h}(u, v) \tilde{x}(u, v) \quad \forall (u, v) \in [0, 1[\times [0, 1[$$

Transformée
de Fourier

- Déconvolution par division

$$\tilde{x}^{\text{FI}}(u, v) = \begin{cases} \frac{\tilde{y}(u, v)}{\tilde{h}(u, v)} & \text{si } |\tilde{h}(u, v)| \neq 0 \\ 0 & \text{si } |\tilde{h}(u, v)| = 0 \end{cases}$$

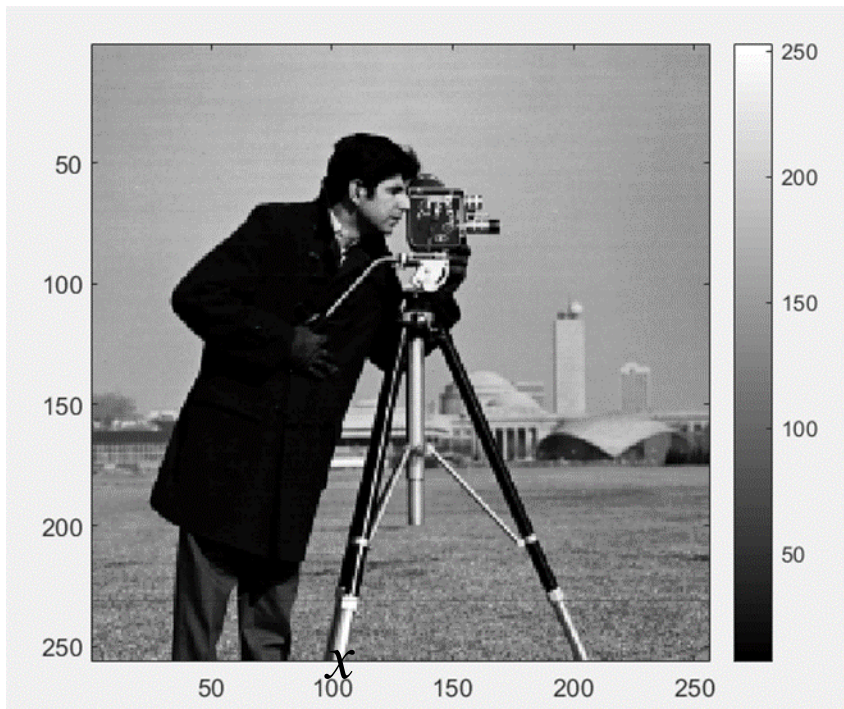
- Application du filtre inverse

$$\hat{x}(m, n) = (w_{\text{FI}} \star y)(m, n) \quad w_{\text{FI}}(u, v) = \begin{cases} \frac{1}{\tilde{h}(u, v)} & \text{si } |\tilde{h}(u, v)| \neq 0 \\ 0 & \text{si } |\tilde{h}(u, v)| = 0 \end{cases}$$

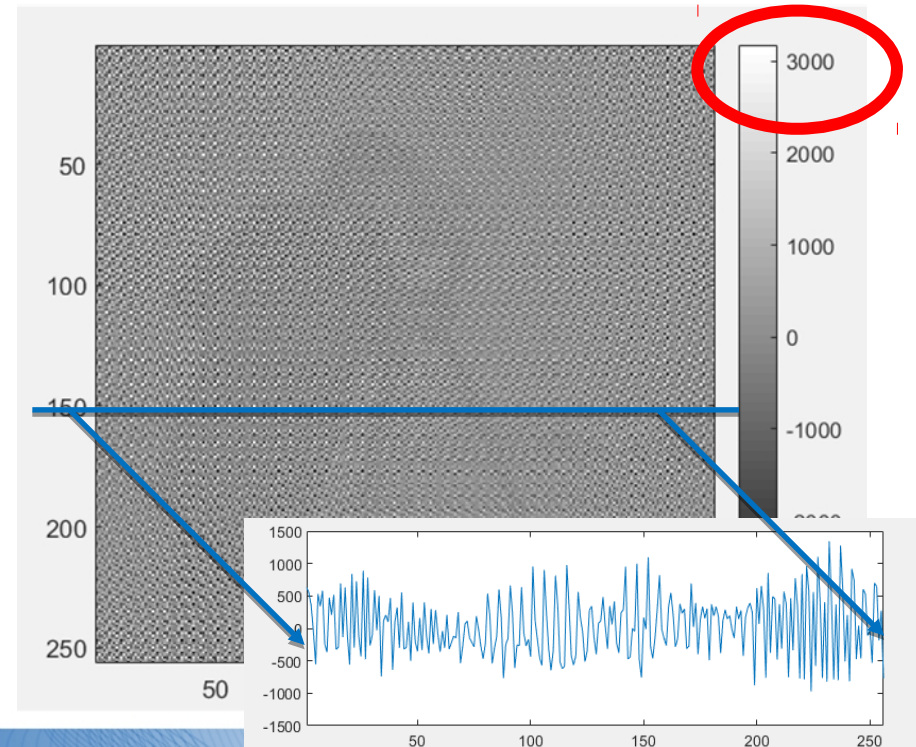
Une approche « intuitive » par Fourier

- En pratique il y a toujours du bruit... $z = h * x + b$
- ...et c'est très mauvais pour le filtre inverse !

x



\hat{x}^{FI}



$$\frac{\tilde{b}(u,v)}{\tilde{h}(u,v)} \rightarrow \infty$$

Comment gérer le bruit ?

- En pratique il y a toujours du bruit...
- ...et c'est très mauvais pour le filtre inverse !
 - Solution naïve 1 : débruiter avant de faire le filtre inverse
 - Solution naïve 2 : tronquer l'inversion

$$\hat{x} = w_{\varepsilon} * z$$

$$\tilde{w}_{\varepsilon}(u, v) = \begin{cases} \frac{1}{\tilde{h}(u, v)} & \text{si } |\tilde{h}(u, v)| > \varepsilon \\ 0 & \text{si } |\tilde{h}(u, v)| \leq \varepsilon \end{cases}$$

Image d'origine x



Image filtrée bruitée z



Image estimée

avec $\varepsilon = 0,1$



Filtre de Wiener blanc

- Encore une idée intuitive : ajouter un talon au dénominateur
 - Attention à la symétrie hermitienne...
- Réglage plus facile que la troncature

$$\tilde{w}_\lambda(u, v) = \frac{\tilde{h}^*(u, v)}{|\tilde{h}(u, v)|^2 + \lambda}$$

$$\hat{x} = w_\lambda * z$$

$\lambda = 5 \cdot 10^{-3}$

$\lambda = 3 \cdot 10^{-2}$

$\lambda = 0,1$

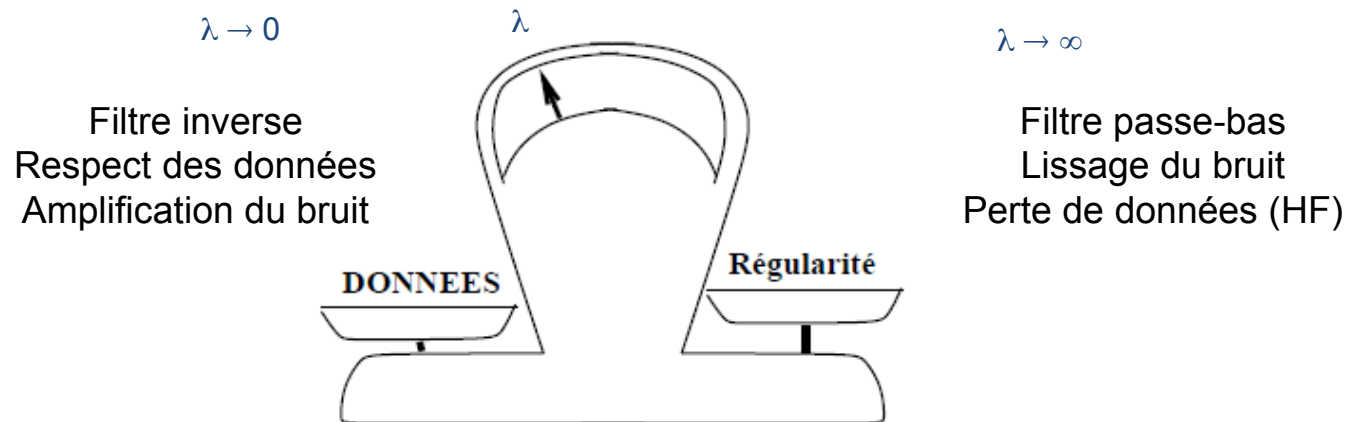


Filtre de Wiener blanc

- Encore une idée intuitive : ajouter un talon au dénominateur
 - Attention à la symétrie hermitienne...
- Réglage plus facile que la troncature

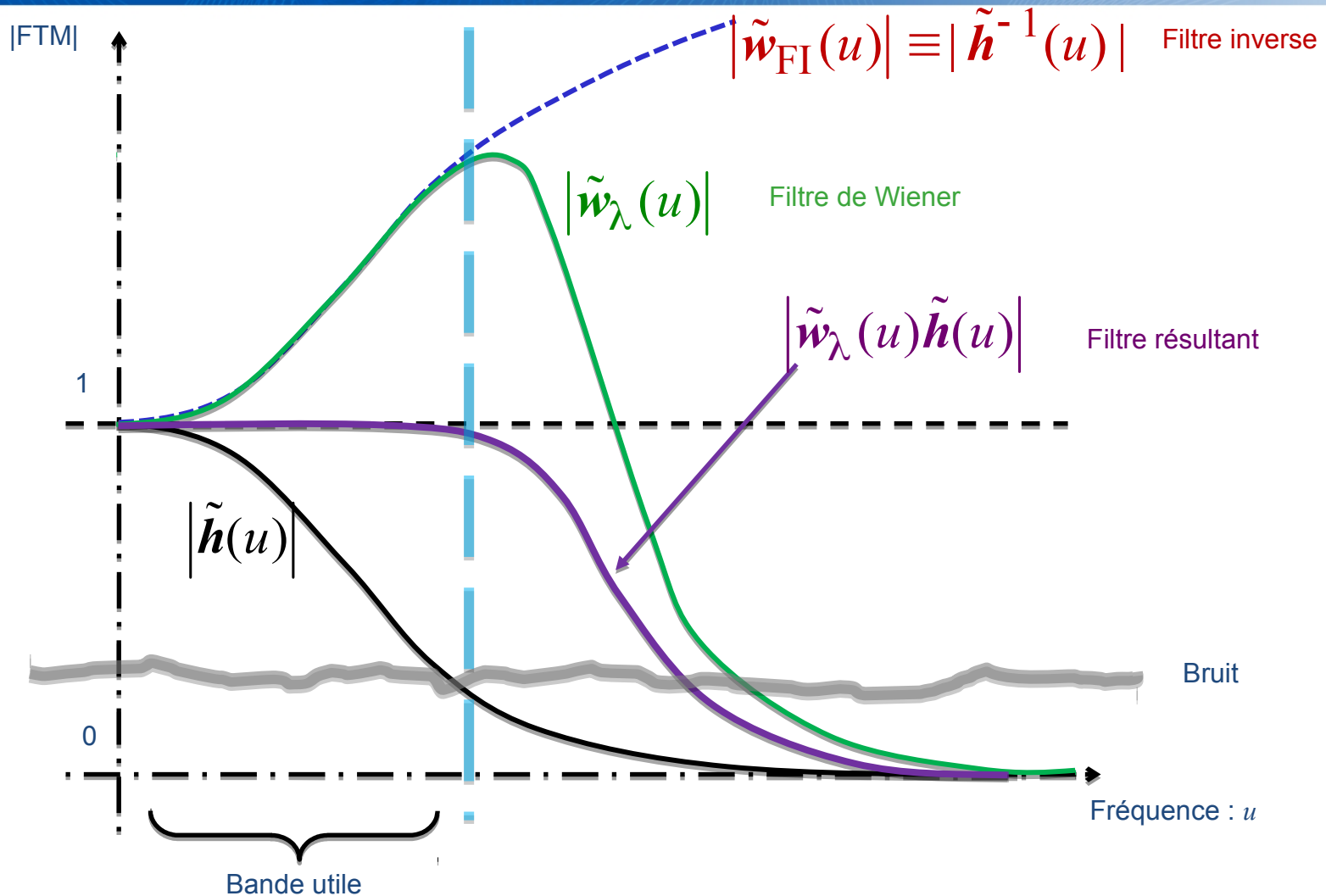
$$\tilde{w}_\lambda(u, v) = \frac{\tilde{h}^*(u, v)}{|\tilde{h}(u, v)|^2 + \lambda}$$

$$\hat{x} = w_\lambda * z$$



- Réglage automatique : il y a des méthodes...
(hors scope de ce cours)

Wiener blanc : interprétation



- Le filtre de Wiener fait de l'égalisation dans la « bande utile »

Filtre de Wiener : cas général

$$z = h * x + b$$

$\tilde{C}_X(u, v)$ $\tilde{C}_B(u, v)$

- Description du signal et du bruit par leur Densité Spectrale de Puissance
 - Bruit blanc : $\tilde{C}_B(u, v) = \sigma_B^2, \quad \forall(u, v)$
- Filtre de Wiener : un réglage fréquence par fréquence

$$\hat{x} = w * z$$

$$\tilde{w}(u, v) = \frac{\tilde{h}^*(u, v)}{|\tilde{h}(u, v)|^2 + \lambda \frac{\tilde{C}_B(u, v)}{\tilde{C}_X(u, v)}}$$

En pratique il faut
souvent régler la
variance

Rapport **bruit à signal** pour
chaque fréquence

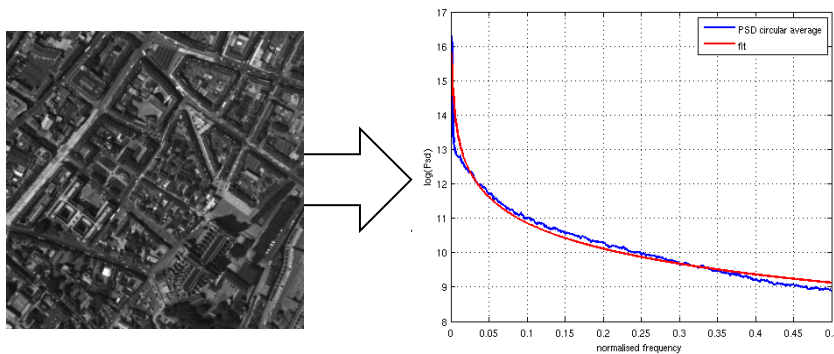
Filtrage de Wiener : modèle de DSP

- Forme générale FW :
 - DSP scène ?
- Modèles de DSP scène
 - paramètres ajustés...

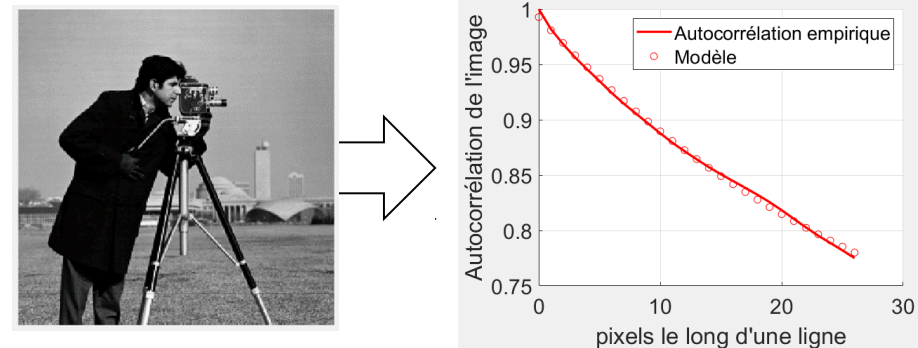
$$\tilde{w}(u, v) = \frac{\tilde{C}_X(u, v) \tilde{h}^*(u, v)}{\tilde{C}_X(u, v) |\tilde{h}(u, v)|^2 + \lambda \tilde{C}_B(u, v)}$$

$$\tilde{C}_X(u, v) = \frac{\tilde{C}_X(0, 0)}{(\alpha^2 + 4\pi^2(u^2 + v^2))^{\beta/2}}$$

...sur la DSP empirique



...ou sur la TF de l'autocorrélation

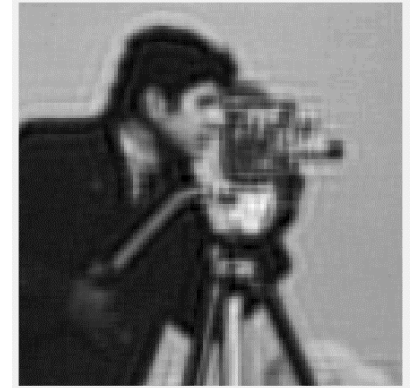
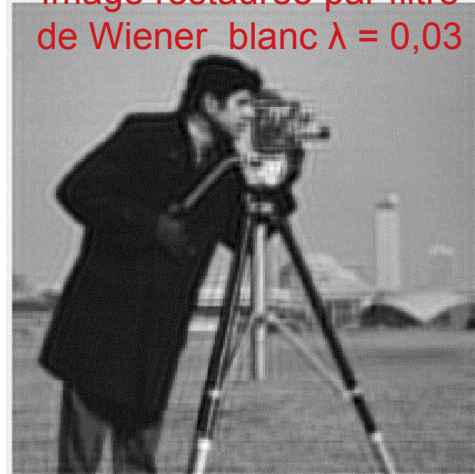


Exemples comparés

Image initiale



Image restaurée par filtre
de Wiener blanc $\lambda = 0,03$



Norme de l'erreur : 16,6

Image initiale + flou
gaussien $\sigma=2$
+ bruit gaussien σ_b
 $=0.004$



Image restaurée par filtre
de Wiener, approche
« modèles »



Norme de l'erreur : 9,6

Formulation matricielle de la déconvolution

$$\mathbf{y} = \mathbf{H}\mathbf{x}$$

- Cas 1D $\mathbf{y}(n) = (\mathbf{h} * \mathbf{x})(n) = \sum_{i=0}^{p-1} \mathbf{h}(i) \mathbf{x}(n - i), \quad n = 0, \dots, N - 1$

- Hypothèses de bord :
 - pour calculer $y(0)$ on a besoin des $x(n)$, $n < 0$
 - Fenêtrage : $x(n) = 0$ si $n < 0 \Rightarrow \mathbf{H}$ $N \times N$ Toeplitz
 - Périodique $\Rightarrow \mathbf{H}$ $N \times N$ circulante

$$\mathbf{y}(n, m) = (\mathbf{h} * \mathbf{x})(n, m) = \sum_{i=0}^{p-1} \sum_{j=0}^{q-1} \mathbf{h}(i, j) \mathbf{x}(n - i, m - j)$$

- Cas 2-D : \mathbf{H} est $NM \times NM$
 - En général : doublement Toeplitz
 - Périodique : doublement circulante

- Forme générale $\mathbf{z} = \mathbf{H}\mathbf{x} + \mathbf{b}$
 - Déconvolution : problème inverse avec \mathbf{H} Toeplitz

$$\hat{\mathbf{x}}^{MC} = \arg \min_{\mathbf{x}} \|\mathbf{z} - \mathbf{H}\mathbf{x}\|^2 \Rightarrow \mathbf{H}^t \mathbf{H} \hat{\mathbf{x}}^{MC} = \mathbf{H}^t \mathbf{z}$$

- Solution des moindres carrés
 - Lorsque le nb de données (dim \mathbf{z}) est supérieur au nombre d'inconnue (dim \mathbf{x}), la matrice $\mathbf{H}^t \mathbf{H}$ est souvent de rang plein
 - Si ce n'est pas le cas on fait une inverse généralisée :

$$\begin{aligned} \mathbf{H}^t \mathbf{H} &= \mathbf{P} \mathbf{D} \mathbf{P}^t \quad \text{avec} \quad \text{diag } \mathbf{D} = [\delta_1, \delta_2, \dots, \delta_R, 0, \dots, 0] \\ (\mathbf{H}^t \mathbf{H})^+ &= \mathbf{P} \mathbf{D}^+ \mathbf{P}^t \quad \text{avec} \quad \text{diag } \mathbf{D}^+ = [1/\delta_1, 1/\delta_2, \dots, 1/\delta_R, 0, \dots, 0] \\ \Rightarrow \hat{\mathbf{x}}^{MC} &= (\mathbf{H}^t \mathbf{H})^+ \mathbf{H}^t \mathbf{z} \end{aligned}$$

Moindres carrés en déconvolution (cas 1D)

$$\hat{\mathbf{x}}^{\text{MC}} = \left(\mathbf{H}^t \mathbf{H} \right)^+ \mathbf{H}^t \mathbf{z} \quad \left(\mathbf{H}^t \mathbf{H} \right)^+ = \mathbf{P}^t \mathbf{D}^+ \mathbf{P}$$

$$\text{diag}(\mathbf{D}^+) = \left[\frac{1}{\mu_1}, \frac{1}{\mu_2}, \dots, \frac{1}{\mu_R}, 0, \dots, 0 \right]$$



$$\hat{\mathbf{x}}^{\text{MC}} = \mathbf{P}^t \begin{pmatrix} 1/\mu_1 & \dots & 0 & 0 & \dots & 0 \\ 0 & \ddots & 1/\mu_R & 0 & \dots & 0 \\ 0 & \dots & 0 & 0 & \dots & 0 \\ 0 & \dots & 0 & 0 & \ddots & 0 \end{pmatrix} \mathbf{P} \mathbf{H}^t \mathbf{z}$$

Deux formes proches...

$$\tilde{\mathbf{x}}^{\text{FI}}(u) = \begin{cases} \frac{\tilde{\mathbf{z}}(u)}{\tilde{\mathbf{h}}(u)} & \text{si } |\tilde{\mathbf{h}}(u)| \neq 0 \\ 0 & \text{si } |\tilde{\mathbf{h}}(u)| = 0 \end{cases}$$



$$\hat{\mathbf{x}}^{\text{FI}} = \mathbf{F}^* \begin{pmatrix} 1/\tilde{\mathbf{h}}(0) & \dots & 0 & 0 & \dots & 0 \\ 0 & \ddots & 1/\tilde{\mathbf{h}}(u) & 0 & \dots & 0 \\ 0 & \dots & 0 & 0 & \dots & 0 \\ 0 & \dots & 0 & 0 & \ddots & 0 \end{pmatrix} \mathbf{F} \mathbf{z}$$

- En déconvolution la solution aux moindres carrés est la même que celle obtenue par filtrage inverse
 - Démonstration rigoureuse en hypothèse périodique par la diagonalisation des matrices circulantes dans la base de Fourier

Si \mathbf{H} est circulante : $\mathbf{H} = \mathbf{F} \text{diag}(\tilde{\mathbf{h}}(0), \dots, \tilde{\mathbf{h}}(u), \dots) \mathbf{F}^*$

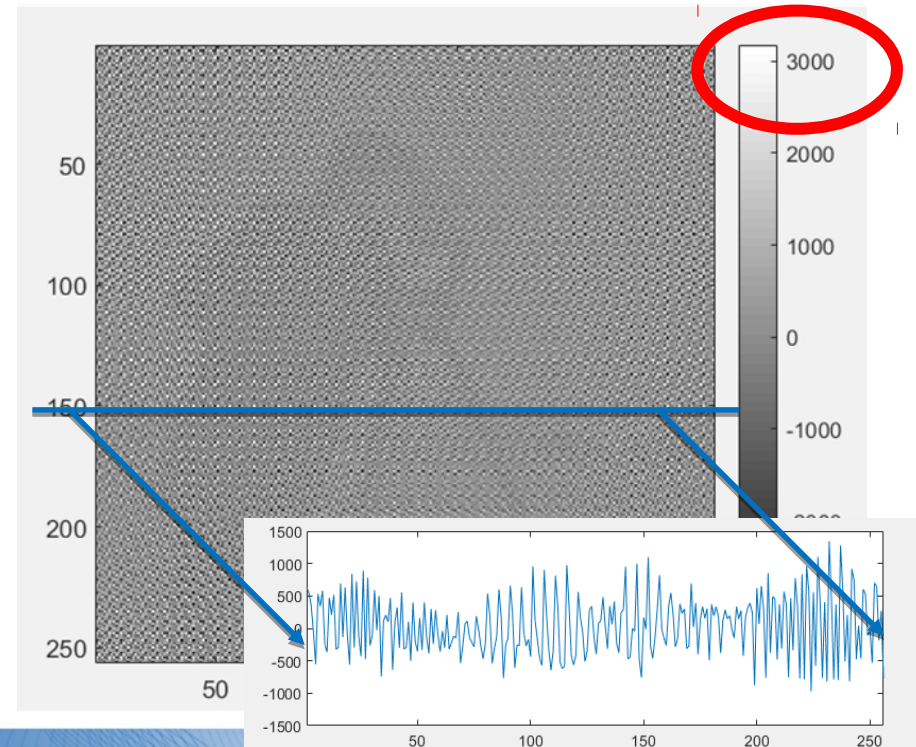
Moindres carrés en déconvolution (2D)

- De même en déconvolution 2D les solutions par filtrage inverse et aux moindres carrés sont les mêmes
- ...et sont donc toutes les deux très sensibles au bruit...

x



$$\hat{x}^{FI} = \hat{x}^{MC}$$



- Déconvolution par filtre de Wiener
- Débruitage

Débruitage

- Une idée simple : moyenner
 - Spatialement : oui mais il faut moyenner les pixels correspondant aux mêmes intensités
 - Donc on moyenne les voisins...



Filtre moyennneur
gaussien

Filtre médian

- Proximité spatiale

$$y(\underline{s}) = \sum_{\underline{s}'} g(\underline{s}' - \underline{s}) x(\underline{s}')$$

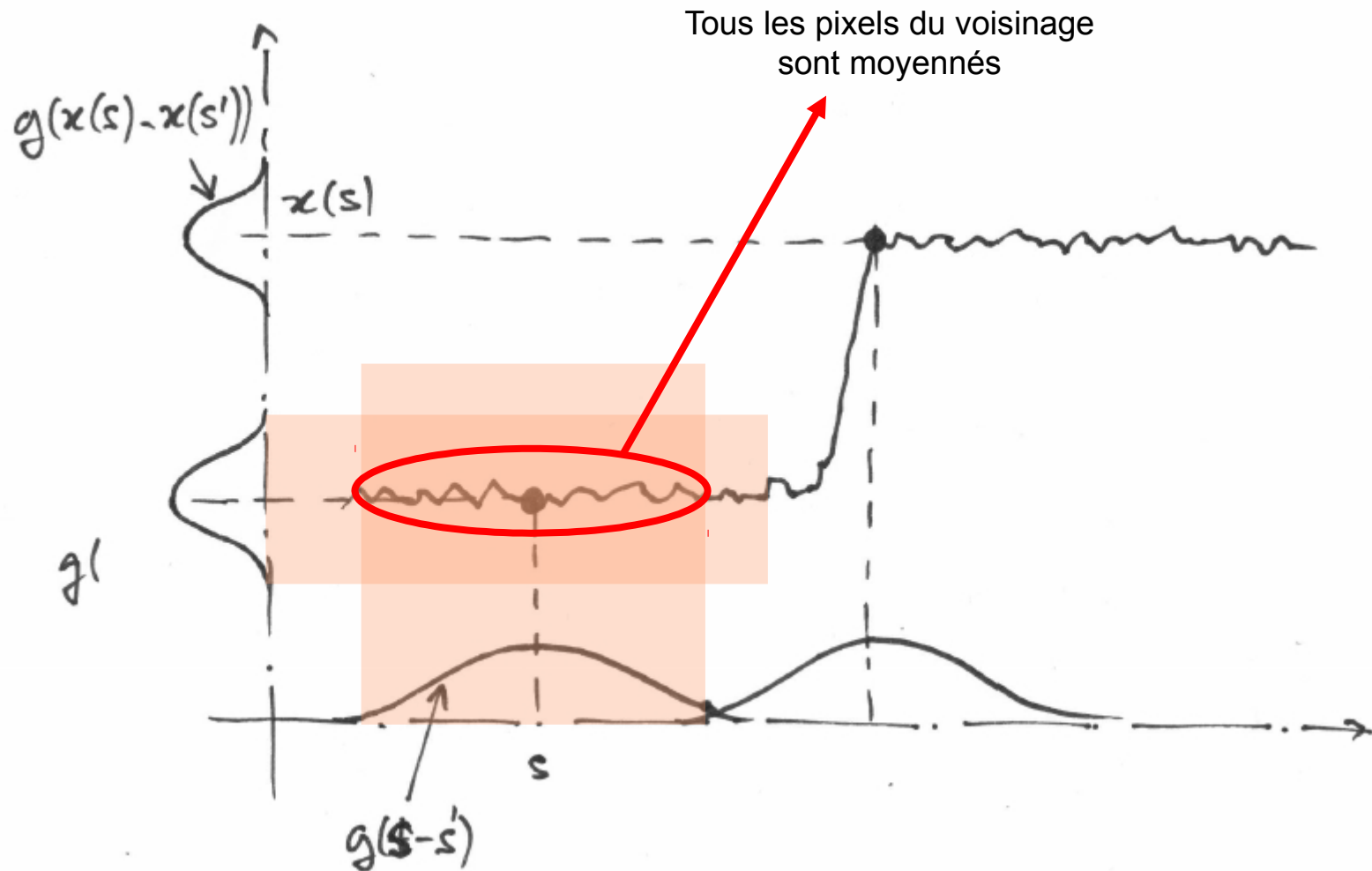
Filtre moyennage
gaussien

- Proximité spatiale et en intensité

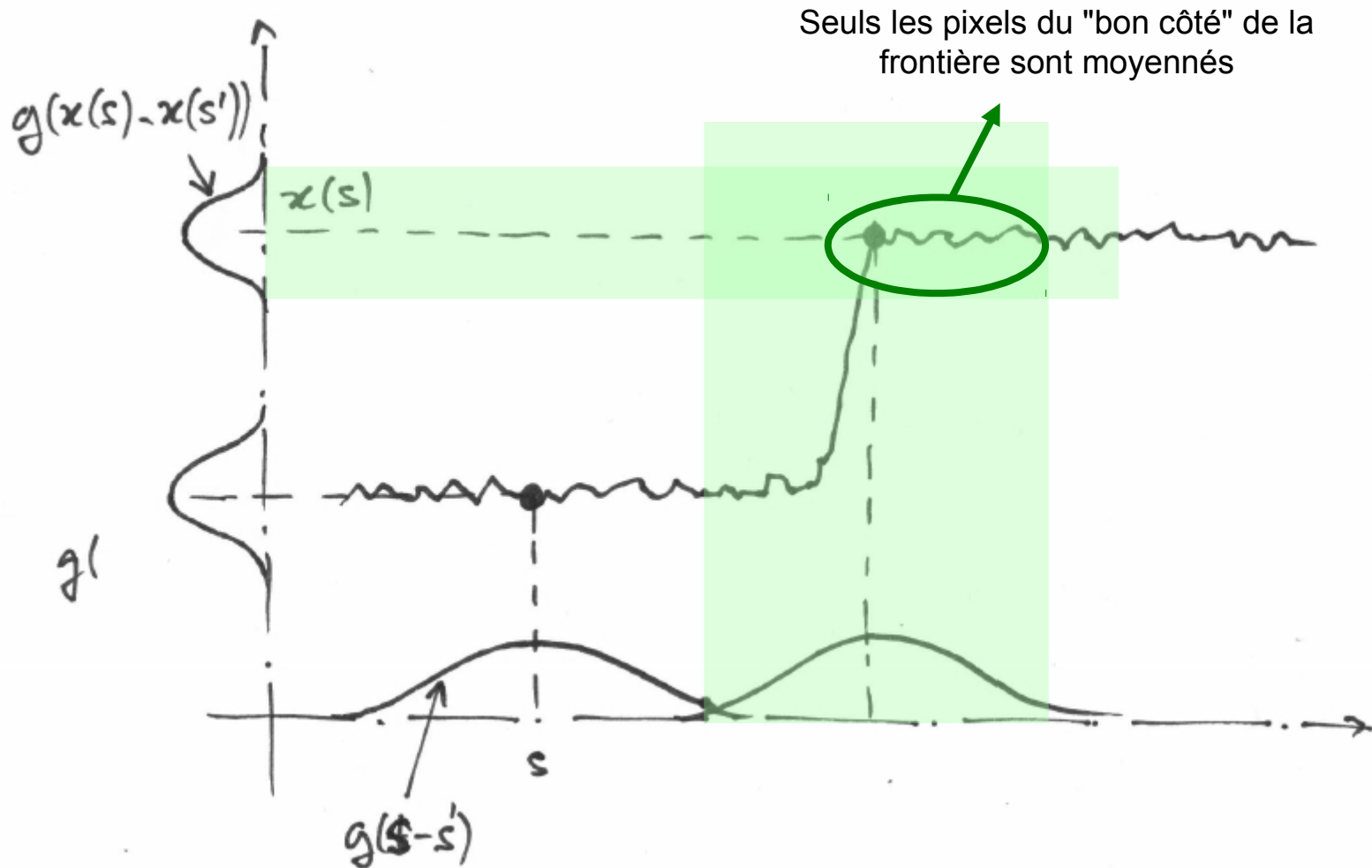
$$y(\underline{s}) = \frac{1}{k(\underline{s})} \sum_{\underline{s}'} g(\underline{s}' - \underline{s}) g(x(\underline{s}') - x(\underline{s})) x(\underline{s}')$$

Filtre bilatéral

Filtre bilatéral : schéma 1D



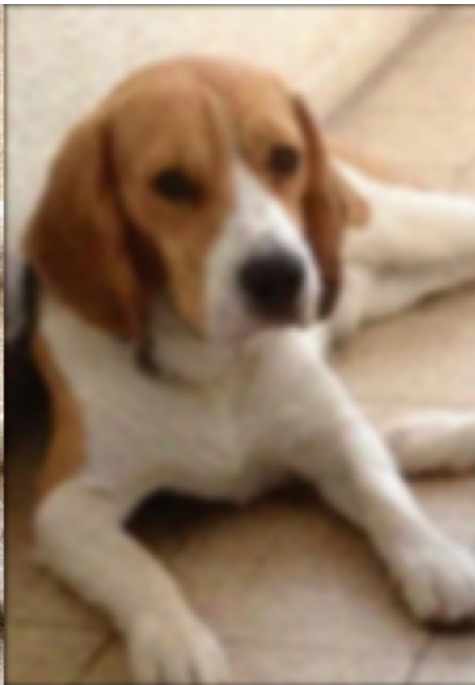
Filtre bilatéral : schéma 1D



Résultats



original



Filtre moyennneur
gaussien



Filtre médian



Filtre bilatéral